

УДК 533.722.011

**ВТОРИЧНЫЕ ТЕЧЕНИЯ В ПОГРАНИЧНЫХ СЛОЯХ ГАЗА,
ИНДУЦИРОВАННЫЕ ПОПЕРЕЧНЫМ СКОЛЬЖЕНИЕМ**

ВОЛКОВ И. В.

Исследуются вторичные течения, которые возникают в пограничных слоях на полубесконечной пластине и на бесконечном конусе (сверхзвуковой режим) при наличии эффекта поперечного скольжения. Определяются автомодельные профили скорости, а также вычисляется сила отдачи, действующая в районе передней кромки пластины, и распределение вдоль образующей конуса плотности осевого крутящего момента.

1. Некоторые оценки. Эффект поперечного скольжения [1, 2] определяется наличием на поверхности обтекаемого тела анизотропной микротекстуры. Коллективное взаимодействие микронеровностей со свидетельствует о вязким течением приводит в конечном итоге к появлению в пограничном слое медленного упорядоченного движения газа в поперечном направлении.

Рассмотрим шероховатую поверхность, у которой характерный размер микродефектов a в $Re^{-1/4}$ раз меньше толщины пограничного слоя δ : $a/\delta \leq Re^{-1/4}$. Столь малые неровности порождают мелкомасштабные возмущения течения, релаксирующие в пределах асимптотически тонкой зоны с характерной толщиной $l \sim \max(a, \delta Re^{-1/4}) \ll \delta$.

На расстояниях от поверхности тела, больших l , но меньших δ , по-прежнему справедливы параболические уравнения Прандтля. В процессе их решения поверхность тела следует считать гладкой (в масштабе δ), а учет ее реальной микротекстуры производить путем модификации граничного условия на дне пограничного слоя. Вид этого условия определяется в результате решения задачи о течении в пристеночной возмущенной зоне и последующего асимптотического сращивания с решением в основной области. Удается показать [3], что на фиктивной границе W , за которую удобно принять средний уровень профиля шероховатой поверхности, решение уравнений Прандтля должно удовлетворять условию скольжения

$$u_w = l_w |\zeta_{ij}| (du/dn)_w$$

Здесь u_w — скорость газа, $(du/dn)_w$ — ее производная по нормали к W , а $l_w = [\mu \rho^{-1} (2/RT)^{1/2}] w$ — длина свободного пробега молекул газа у стенки; μ , ρ , T — соответственно коэффициент вязкости, плотность и температура газа. Симметричная матрица $|\zeta_{ij}|$ называется матрицей коэффициентов скольжения [1]. Зависимость ее собственных чисел от размеров и формы неровностей исследовалась в [2—4].

В простейшем случае, когда поверхность тела представляет собой изотропно рассеивающую плоскость (при этом ее профиль совпадает с фиктивным профилем W), матрица коэффициентов скольжения имеет вид

$$|\zeta_{ij}| = \zeta_0 |\delta_{ij}| \quad (1.1)$$

Если рассеяние на поверхности близко к диффузному, то $\zeta_0 \approx 1$.

При обтекании изотропно рассеивающей плоской поверхности скорость газа непосредственно у тела (скорость скольжения) параллельна направ-

лению основного сдвигового течения, а ее модуль является величиной порядка $Re^{-\frac{1}{2}}$.

Матрица коэффициентов скольжения сохраняет структуру (1.1) и в случае, когда поверхность тела имеет микродефекты, форма которых изотропна. Влияние шероховатости оказывается лишь на величине коэффициента скольжения ζ . Можно показать, что в зависимости от размеров и формы неровностей величина ζ варьируется в диапазоне $-Re^{\frac{1}{4}} \leq \zeta \leq \zeta_0$. Нижнему пределу отвечает случай «крупных» микродефектов: $a \sim b Re^{-\frac{1}{4}}$. При этом для трения на поверхности эффект скольжения по порядку величины составляет $Re^{-\frac{3}{4}}$, что существенно больше, нежели те эффекты, которые обычно рассматриваются в теории пограничного слоя второго порядка.

В случае произвольной шероховатой поверхности, когда нет оснований предполагать полную изотропность ее свойств по направлениям, собственные числа матрицы коэффициентов скольжения могут различаться: $\zeta_1 \neq \zeta_2$. Вследствие этого создается возможность появления составляющей скорости скольжения, перпендикулярной направлению основного сдвигового течения (поперечное скольжение). Пусть $(du/dn)_w \cos(\alpha)$ и $(du/dn)_w \sin(\alpha)$ — компоненты вектора $(du/dn)_w$ вдоль главных осей матрицы коэффициентов скольжения. Тогда для величины поперечного скольжения имеет место следующее соотношение:

$$w_{SL} = (\frac{1}{2}) l_w |\sin(2\alpha) (\zeta_1 - \zeta_2)| (du/dn)_w$$

При обтекании анизотропной поверхности ($\zeta_1 \neq \zeta_2$) эффект поперечного скольжения отсутствует лишь тогда, когда сдвиговое течение направлено вдоль одной из главных осей матрицы коэффициентов скольжения ($\alpha=0$ или $\pi/2$).

В пограничном слое Прандтля поперечное скольжение порождает медленное вторичное течение с характерной скоростью w , причем $w \sim |\zeta_1 - \zeta_2| Re^{-\frac{1}{2}} \ll Re^{-\frac{1}{4}}$. Ниже приведены два простых примера таких течений — на полубесконечной пластине и на конусе, расположенных под нулевым углом атаки к набегающему потоку. В целях упрощения анализа предполагается, что вязкость газа линейно зависит от его температуры, и что рассматриваемые вторичные течения могут быть описаны как малые возмущения на фоне основных автомодельных течений.

2. Поперечное скольжение на пластине. Расположим трехмерную декартову систему координат таким образом, чтобы полу平面 $Y=0$, $X \geq 0$ совпадала с поверхностью пластины (фиг. 1, a). Будем считать, что скорость невязкого течения на внешней границе пограничного слоя U направлена вдоль оси X . Тогда скорость поперечного скольжения w_{SL} параллельна оси Z , а ее величина определяется соотношением

$$w_{SL} = l_w \zeta_{zx} (dU_x/dy)_{y=0} \quad (2.1)$$

где U_x — X -составляющая скорости основного автомодельного течения.

Пусть далее $w(x, y)$ — скорость вторичного течения, индуцированного поперечным скольжением. Чтобы определить конкретный вид этой функции, следует решить уравнение переноса для Z -компоненты импульса с граничными условиями, определяющими поперечное скольжение на поверхности пластины и отсутствие поперечного движения во внешнем невязком потоке

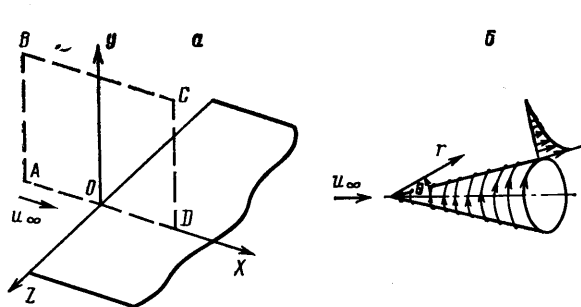
$$\rho U_x \frac{dw}{dx} + \rho U_y \frac{dw}{dy} = \frac{d}{dy} \left(\mu \frac{dw}{dy} \right) w|_{y=0} = w_{SL}, \quad w|_{\infty} = 0$$

Нормируем w на w_{SL} : $\varphi = w/w_{SL}$, и перейдем к автомодельной переменной $t = \eta \xi^{-\frac{1}{4}}$, где ξ и η — переменные Дородницина. Тогда сформулированная выше граничная задача приобретает следующий вид:

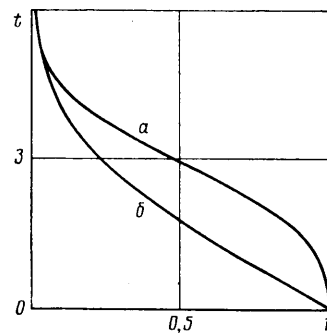
$$2\varphi'' + (\varphi f)' = 0, \quad \varphi(0) = 1, \quad \varphi(\infty) = 0 \quad (2.2)$$

Решением (2.2) является выражение $f''(t)/f''(0)$, (кривая a на фиг. 2), где функция f – решение Блазиуса.

Непосредственной проверкой устанавливается, что рассматриваемое вторичное течение характеризуется отсутствием трения на поверхности пластины. Оставаясь в рамках теории пограничного слоя Прандтля, невозможно разрешить возникающий при этом парадокс: в набегающем невозмущенном потоке поперечное движение газа отсутствует и, следовательно, должна существовать сила, которая бы принуждала его двигаться в направлении оси Z . Чтобы устранить противоречие, следует рассмотреть короткий разгонный участок вблизи передней кромки пластины. Здесь формируется автомодельный профиль поперечного течения и здесь к по-



Фиг. 1



Фиг. 2

верхности пластины приложена конечная сила отдачи в направлении оси Z . Ее величину F_z вычислим, применив теорему импульсов [5] к показанному на фиг. 1, a контуру $ABCD$

$$F_z = -l_w \zeta_{zx} \rho_w U^2$$

3. Поперечное скольжение на конусе. В этом случае эффект поперечного скольжения приводит к возникновению медленного кругового движения газа в плоскости, перпендикулярной оси симметрии конуса (см. фиг. 1, б). Данное вторичное течение создает на всей поверхности тела вязкие напряжения трения. Появляется распределенный осевой крутящий момент, плотность которого вычисляется ниже.

Введем сферические координаты r , θ , ϕ , поместив полюс в вершине конуса. Полярный угол θ будем отсчитывать от оси симметрии.

Пусть далее $w(r, \theta)$ – скорость циркуляционного течения, обусловленного поперечным скольжением. Для ее определения решим следующую граничную задачу:

$$U_r \left(\frac{dw}{dr} + \frac{w}{r} \right) + \frac{U_\theta}{r} \frac{dw}{d\theta} = \frac{1}{\rho r} \frac{d}{d\theta} \left(\frac{\mu}{r} \frac{dw}{d\theta} \right) \quad (3.1)$$

$$w(\infty) = 0, \quad w|_w = w_{SL} = l_w \zeta_{R\phi} r^{-1} (dU_r/d\theta)_w$$

Здесь, как и выше, $U = (U_r, U_\theta)$ – скорость основного автомодельного течения.

Перейдем в (3.1) к автомодельной переменной $t = \eta(3/\xi)^{1/2}$, где ξ , η – переменные Дородницына, и отнесем величину скорости рассматриваемого вторичного течения к величине скорости скольжения w_{SL} : $\psi = w/w_{SL}$. Тогда для ψ получаем следующую граничную задачу:

$$2\psi'' + f\psi' - f'\psi/3 = 0, \quad \psi(\infty) = 0, \quad \psi(0) = 1$$

Ее решение, полученное прямым численным расчетом, представлено на фиг. 2 (кривая b). При этом плотность осевого крутящего момента m_ϕ

определяется выражением следующего вида: $m_\varphi \approx -1,385 \rho_w U^2 \zeta_{R\varphi} \sin^2 (\theta_w) r$, где θ_w — угол полураствора конуса.

Наличие трения на конусе, при отсутствии такового почти на всей поверхности пластины, находится в противоречии с известной аналогией между соответствующими течениями в теории пограничного слоя основного порядка. Причиной различия между вторичными течениями является специфическое взаимодействие между радиальным и азимутальным движениями газа в пограничном слое на конусе. В этом случае траектория жидкой частицы представляет собой винтовую линию. Для организации такого движения к элементарному объему газа в числе прочих необходимо приложить силу $\rho U_R w / r$, обеспечивающую поворот вектора радиальной скорости при вращении в азимутальном направлении. Это достигается за счет обмена импульсом между верхними и нижними слоями газа. В результате возникает поток соответствующей компоненты импульса на границе раздела газ — поверхность тела.

ЛИТЕРАТУРА

1. Freedlander O. G. Relations of symmetry and reciprocity in linear kinetic theory of gases // Rarefied Gas Dynamics/Ed. by Belotserkovskii O. M. N. Y.; L.: Plenum Press, 1985. V. 1. P. 91–98.
2. Волков И. В. Условия газодинамического скольжения на шероховатой поверхности // Тр. ЦАГИ. 1985. Вып. 2269. С. 39–46.
3. Волков И. В. Газодинамические граничные условия скольжения на неровной поверхности // Журн. вычисл. математики и мат. физики. 1988. Т. 28. № 1. С. 80–89.
4. Волков И. В. Газодинамические условия скольжения на неровной поверхности // Тр. VIII Всесоюз. конф. по динамике разреженных газов. М., 1986. С. 38–42.
5. Ламб Г. Гидродинамика. М. 5 Л.: Гостехиздат, ОГИЗ, 1947. 928 с.

Москва

Поступила в редакцию
16.VII.1987